

NMRで何が観測できるか？

実験: 原子核の準位差に相当する電磁波を与えて共鳴させる

原子核のエネルギー準位: 磁気的な相互作用、電気的な相互作用

● 静的な情報

磁気的な相互作用: ゼーマン分裂

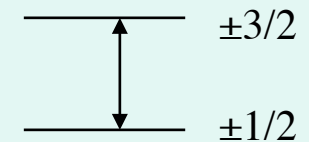
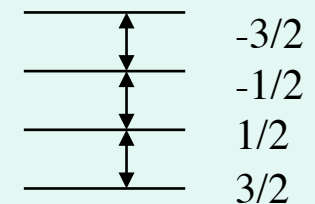
ナイトシフト(各サイトの微視的な磁化率)

電気的な相互作用: 核四重極相互作用 ($I > 1/2$)

電場勾配

その原子に属する電子の波動関数
まわりのイオンの寄与

$I=3/2$ (Cuなど)



● 動的な情報

スピン格子緩和率: 電子スピンのダイナミクス

・原子核の磁気モーメント

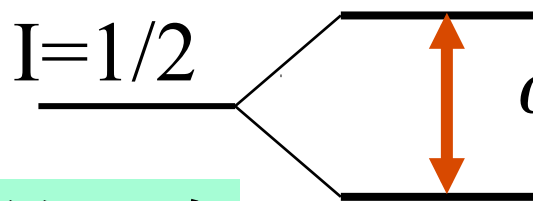
原子核の角運動量 $\hbar\vec{I} \Rightarrow$ 磁気モーメント $\vec{\mu} = g_N\mu_N\vec{I}$

$$\mu_N = \frac{e\hbar}{2m_p c}$$

proton: $g_N=5.59$

neutron: $g_N=-3.82$

Zeeman energy: $E = -g_N\mu_N\vec{I} \cdot \vec{H} = -\hbar\gamma_N\vec{I} \cdot \vec{H}$

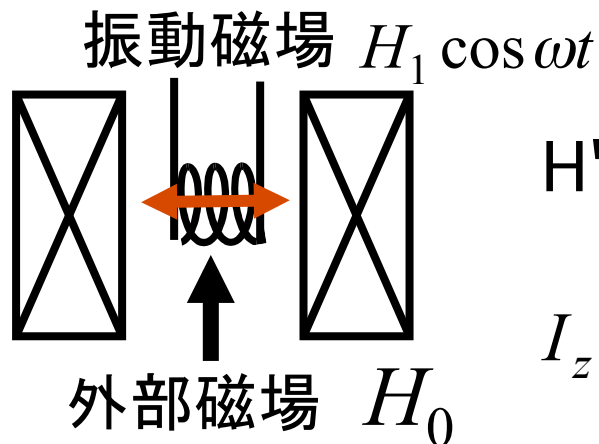


$$\omega_N = \gamma_N H$$

$$\frac{\gamma_N}{2\pi} = 42.58 \text{ MHz/T for } ^1\text{H}$$

$$= 11.29 \text{ MHz/T for } ^{63}\text{Cu}$$

磁気共鳴

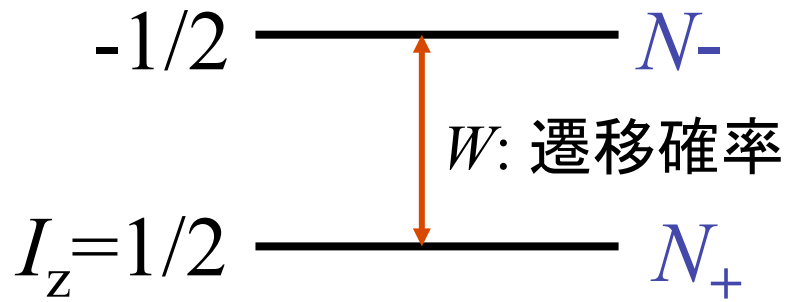


$$H' = \hbar\gamma_N H_1 I_x \cos \omega t \quad I_x = \begin{pmatrix} 0 & 1/2 \\ 1/2 & 0 \end{pmatrix}$$

$I_z = +1/2 \leftrightarrow -1/2$ の遷移を引き起こす。

population

核磁化 : $M_z \propto N_+ - N_- = n$



$$n_{\text{eq}} = \frac{1}{2} \left(\exp\left(\frac{\hbar\gamma_N H_0}{2k_B T}\right) - \exp\left(-\frac{\hbar\gamma_N H_0}{2k_B T}\right) \right)$$

$$\approx \frac{\hbar\gamma_N H_0}{2k_B T} \ll 1$$

核磁化の時間変化 (rate equation)

$$\frac{dN_-}{dt} = W(N_+ - N_-)$$

$$\frac{dn}{dt} = -2Wn \quad n = n_0 \exp(-2Wt)$$

$$\frac{dN_+}{dt} = -W(N_+ - N_-)$$

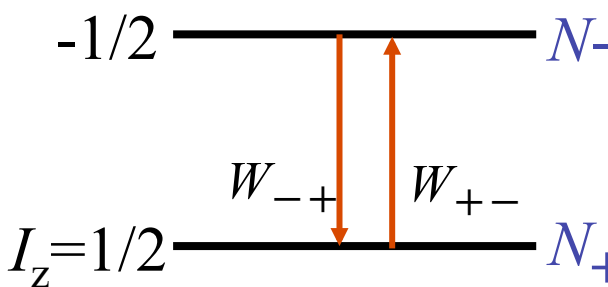
t無限大でnが0?

実際にはスピン系と周りの熱浴との相互作用がある。

$$\frac{dn}{dt} = -2Wn + \frac{n_{\text{eq}} - n}{T_1} \quad \text{定常状態} \quad \frac{dn}{dt} = 0 \quad n_{\text{steady}} = \frac{n_{\text{eq}}}{1 - 2WT_1}$$

T_1 : スピン格子緩和時間

スピン系は熱浴との相互作用によって平衡分布を達成する。



振動磁場がないとき

$$\frac{dN_-}{dt} = W_{+-}N_+ - W_{-+}N_-$$

$$\frac{dN_+}{dt} = W_{-+}N_- - W_{+-}N_+$$

平衡状態では

$$\frac{dN_-}{dt} = \frac{dN_+}{dt} = 0$$

従って $\frac{W_{-+}}{W_{+-}} = \frac{N_+}{N_-}$

$$\frac{dn}{dt} = (W_{-+} - W_{+-})N - n(W_{-+} + W_{+-})$$

$$= \frac{n_{\text{eq}} - n}{T_1}$$

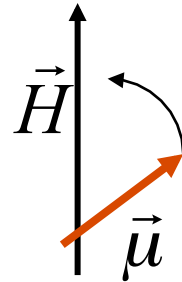
$$n_{\text{eq}} = N \left(\frac{W_{-+} - W_{+-}}{W_{-+} + W_{+-}} \right)$$

$$\frac{1}{T_1} = W_{-+} + W_{+-}$$

Ⅱ a 磁場中での磁気モーメントの運動

古典力学

$$E = -\vec{H} \cdot \vec{\mu} = -H\mu \cos\theta$$



磁気モーメントに働くトルク

$$\vec{\mu} \times \vec{H}$$

は角運動量の時間変化に等しい。

$$\frac{d\vec{\mu}}{dt} = \vec{\mu} \times \gamma_N \vec{H}$$

$$\frac{d\hbar\vec{I}}{dt} \quad (\vec{\mu} = \gamma_N \hbar\vec{I})$$

磁場の周りの角速度 $\gamma_N H$ の回転運動を表す。

Larmor precession (ラーマー才差運動)

$$\frac{d\vec{\mu}^2}{dt} = 2\vec{\mu} \cdot \dot{\vec{\mu}} = 0, \quad \frac{d(\vec{\mu} \cdot \vec{H})}{dt} = 0$$

量子力学

$$H = - \vec{H} \cdot \vec{\mu} \quad \vec{\mu} = \hbar \gamma_N \vec{I}$$

Heisenberg 運動方程式

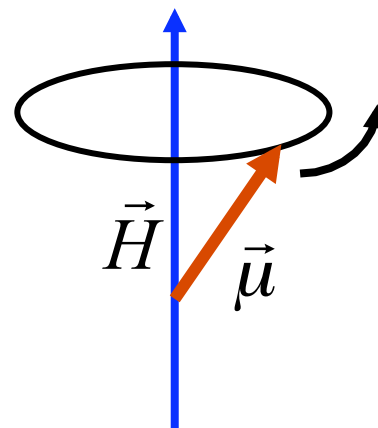
$$\begin{aligned} \frac{d\langle I_z \rangle}{dt} &= \frac{i}{\hbar} \langle [\mathbf{H}, I_z] \rangle = -i\gamma_N \vec{H} \cdot \langle [\vec{I}, I_z] \rangle \\ &= \gamma_N (I_x H_y - I_y H_x) \\ &= \gamma_N \langle [\vec{I} \times \vec{H}]_z \rangle \end{aligned}$$

$$I_x I_y - I_y I_x = iI_z$$

$$I_y I_z - I_z I_y = iI_x$$

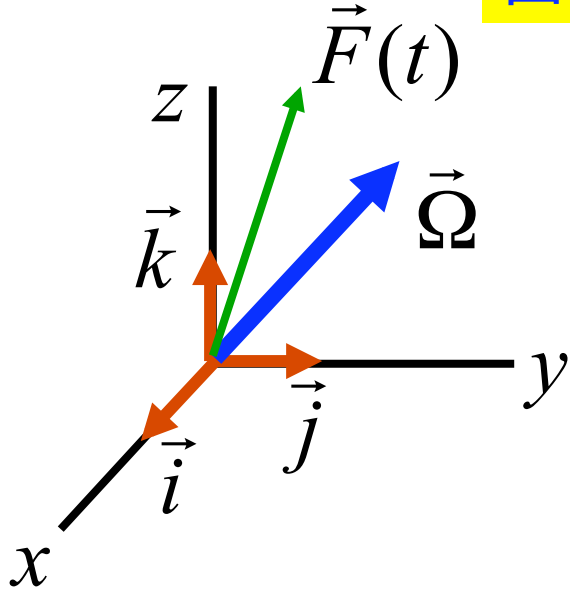
$$I_z I_x - I_x I_y = iI_y$$

$$\frac{d\langle \vec{I} \rangle}{dt} = \gamma_N \langle \vec{I} \rangle \times \vec{H}$$



古典力学と等価

回転座標系



$$\begin{cases} \frac{d\vec{i}}{dt} = \vec{\Omega} \times \vec{i} \\ \frac{d\vec{j}}{dt} = \vec{\Omega} \times \vec{j} \\ \frac{d\vec{k}}{dt} = \vec{\Omega} \times \vec{k} \end{cases}$$

$$\vec{F}(t) = \vec{i} F_x + \vec{j} F_y + \vec{k} F_z$$

$$\begin{aligned} \frac{d\vec{F}}{dt} &= \vec{i} \frac{dF_x}{dt} + \vec{j} \frac{dF_y}{dt} + \vec{k} \frac{dF_z}{dt} + F_x \frac{d\vec{i}}{dt} + F_y \frac{d\vec{j}}{dt} + F_z \frac{d\vec{k}}{dt} \\ &= \underbrace{\vec{i} \frac{dF_x}{dt} + \vec{j} \frac{dF_y}{dt} + \vec{k} \frac{dF_z}{dt}}_{\frac{\delta \vec{F}}{\delta t}} + \underbrace{F_x \frac{d\vec{i}}{dt} + F_y \frac{d\vec{j}}{dt} + F_z \frac{d\vec{k}}{dt}}_{\vec{\Omega} \times \vec{F}} \end{aligned}$$

$$\frac{\delta \langle \vec{I} \rangle}{\delta t} = \langle \vec{I} \rangle \times (\gamma_N \vec{H} + \vec{\Omega})$$

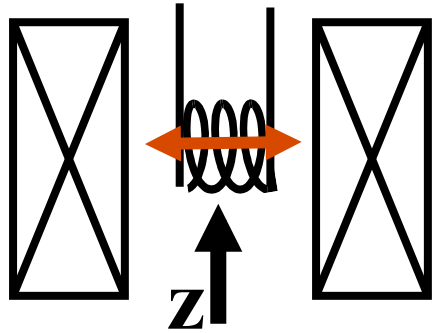
有効磁場

$$\vec{H}_{\text{eff}} = \vec{H} + \frac{\vec{\Omega}}{\gamma_N}$$

$$\text{if } \vec{U} = -\gamma_N \vec{H}, \quad \frac{d\langle \vec{I} \rangle}{dt} = 0$$

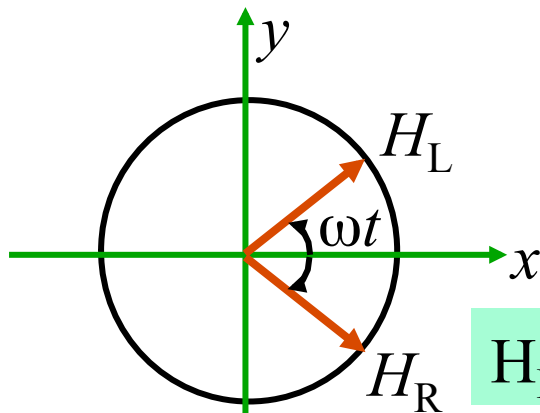
磁気モーメントは回転系で静止

Ⅱb パルス磁気共鳴、スピン・エコー



静磁場 $\vec{H}_{\text{ext}} = (0, 0, H_0) // \vec{z} \sim 10\text{T} (10^5\text{G})$

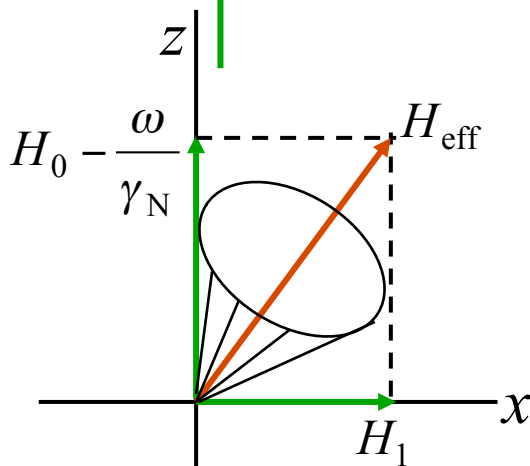
高周波磁場 $\vec{H}_{\text{rf}}(t) = (2H_1 \cos \omega t, 0, 0) // \vec{x}$
 $10 \sim 100\text{G}$



$$\frac{d\langle \vec{I} \rangle}{dt} = \gamma_N \langle \vec{I} \rangle \times [\vec{H}_{\text{ext}} + \vec{H}_{\text{rf}}(t)]$$

$$\vec{H}_{\text{rf}}(t) = \vec{H}_L(t) + \vec{H}_R(t)$$

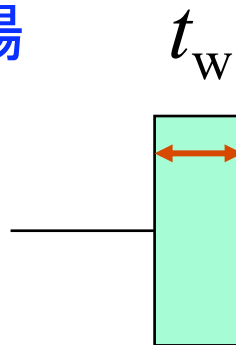
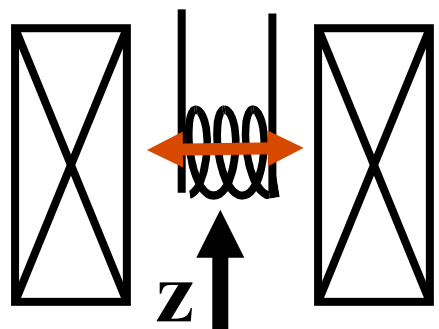
H_R と一緒に回る回転系から見ると



$$\frac{d\langle \vec{I} \rangle}{dt} = \langle \vec{I} \rangle \times \left[\left(H_0 - \frac{\omega}{\gamma_N} \right) \vec{k} + H_1 \vec{i} \right]$$

$\omega = \gamma_N H$ であれば、磁気モーメントは
 x 軸の周りを $\omega_{\text{eff}} = \gamma_N H_1$ の周期で回転する。

高周波パルス磁場



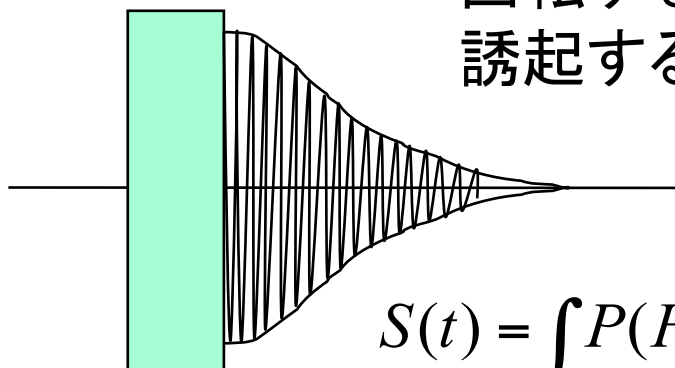
$$\gamma_N H_1 t_w = \pi/2 \Rightarrow \langle \vec{I} \rangle // \vec{x} \quad (\pi/2 \text{ パルス})$$

$$\gamma_N H_1 t_w = \pi \Rightarrow \langle \vec{I} \rangle // -\vec{z} \quad (\pi \text{ パルス})$$

磁化反転

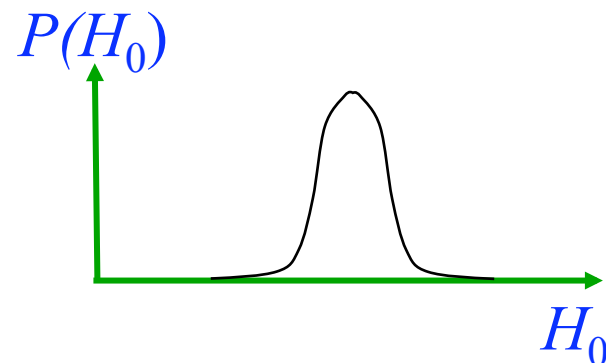
Free Induction Decay (FID)

回転する磁化がコイルに誘起する誘導起電力



$$S(t) = \int P(H_0) \cos(\gamma_N H_0 t) dH_0$$

局所磁場に分布があれば信号は減衰する。



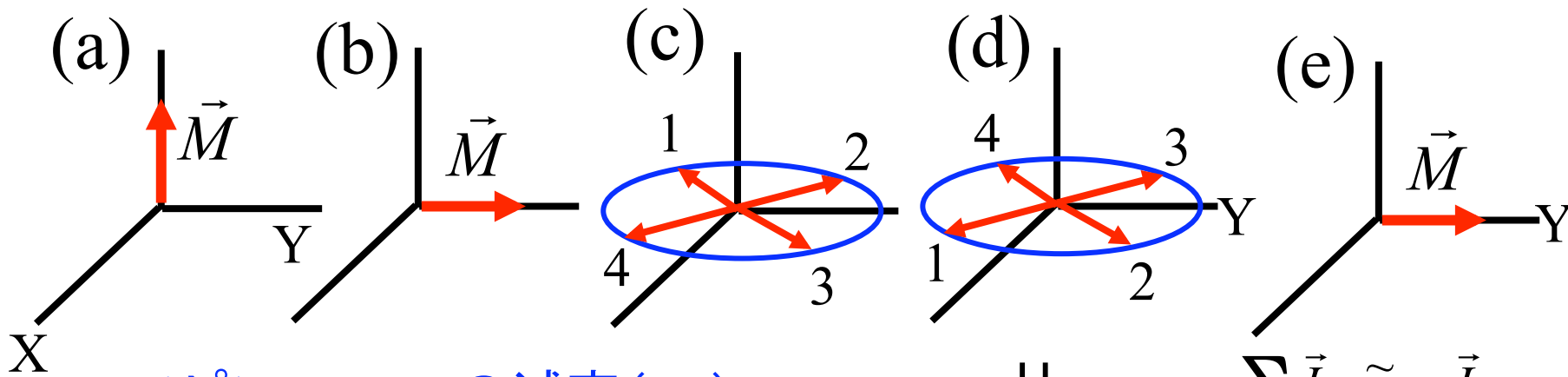
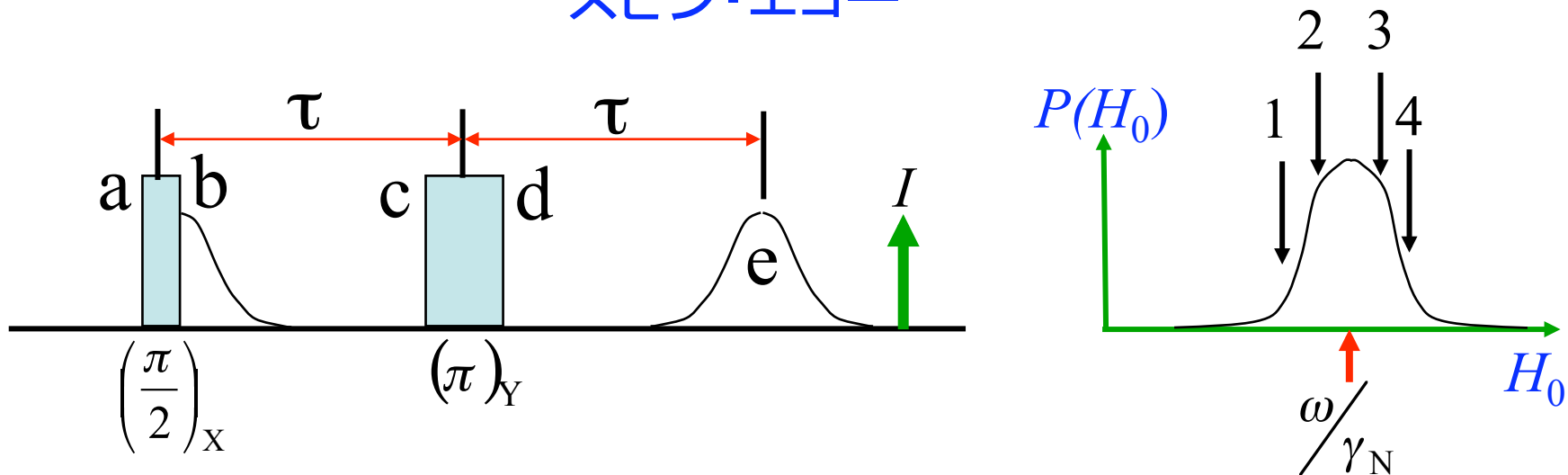
実際に高周波(ラーマー周波数)の信号を直接観測するわけではない。



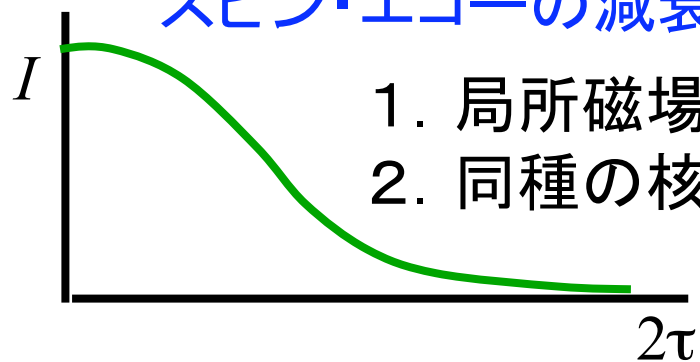
位相検波

Phase Sensitive Detection

スピン・エコー



スピン・エコーの減衰 (T_2)

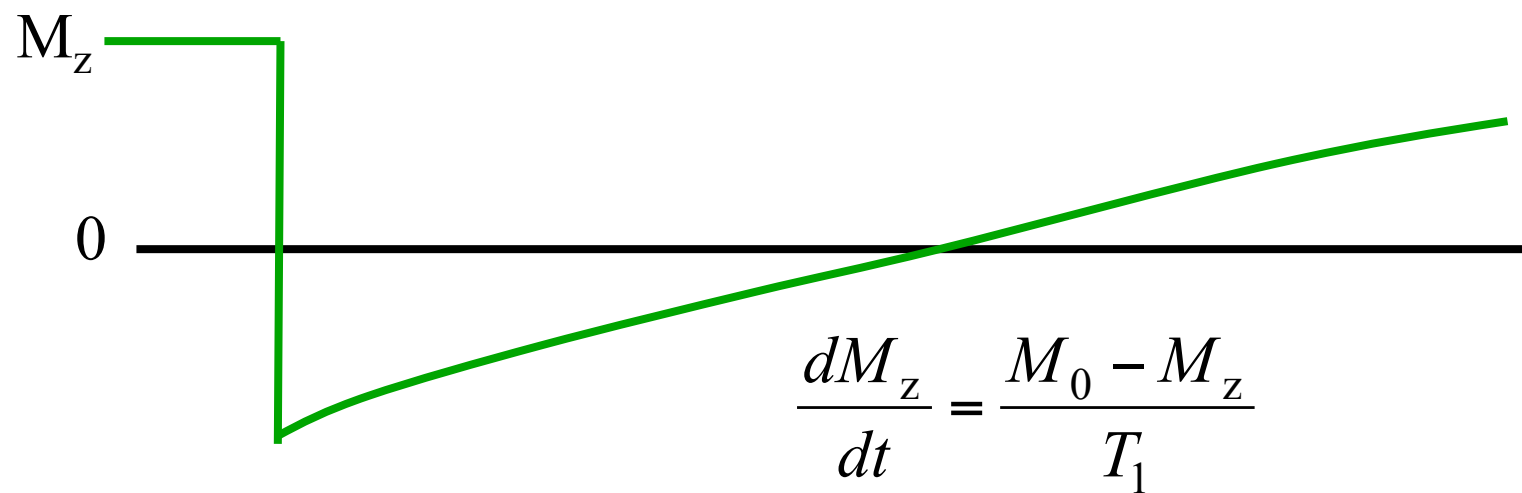
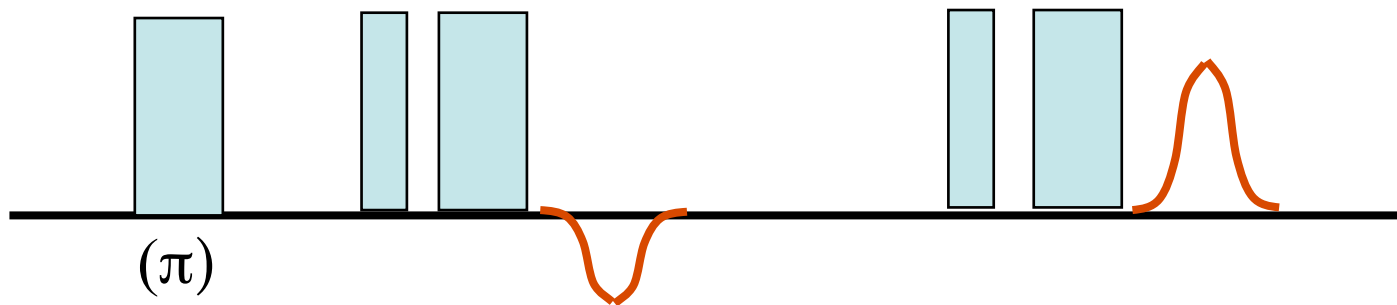


1. 局所磁場の時間的揺らぎ
2. 同種の核スピン間の結合

$$\begin{aligned}
 H_{\text{spin-spin}} &= \sum_{j,k} \vec{I}_j \cdot \tilde{a}_{jk} \cdot \vec{I}_k \\
 &= \sum_j \hbar \gamma_N \vec{I}_j \cdot \vec{H}_j^{\text{loc}}
 \end{aligned}$$

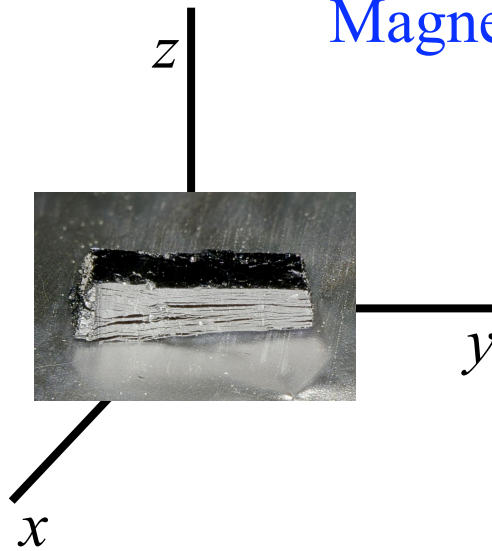
$$\vec{H}_j^{\text{loc}} = \frac{1}{\hbar \gamma_N} \sum_k \tilde{a}_{jk} \cdot \vec{I}_k$$

核スピン—格子緩和時間 (T_1)



Magnetic Resonance Imaging (MRI) の原理

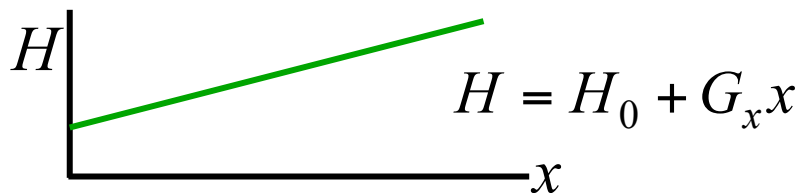
物体中の原子核(水素)の密度分布を測定する。



$$\vec{H}_0 = \begin{pmatrix} 0 \\ 0 \\ H(x, y, z) \end{pmatrix} \quad \text{FID: } f(t) = \int e^{i\gamma_N H(\vec{r})t} \rho(\vec{r}) d\vec{r}$$

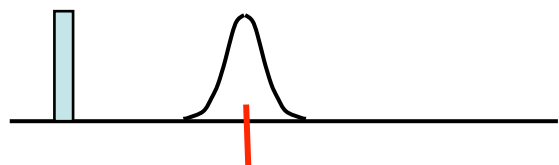
$f(t)$ の測定データから $\rho(\vec{r})$ を求める。

2次元の例 磁場勾配 (linear field gradient)



$$f(t) = \int e^{i\gamma_N G_x x t} [\rho(x, y) dy] dx$$

$$f(k) = \int e^{ik_x x} [\rho(x, y) dy] dx, \quad k_x = \gamma_N G_x t$$

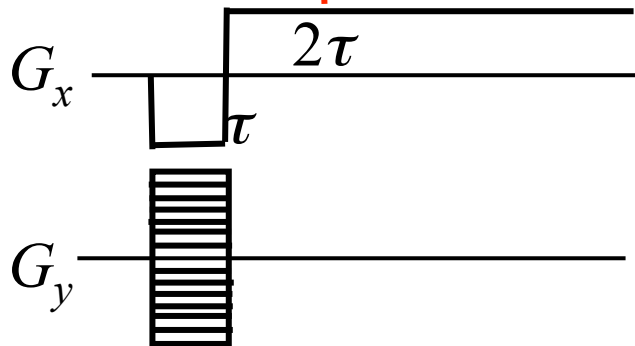


$$f(t) = \int e^{i\gamma_N (G_y \tau) y} e^{i\gamma_N \{G_x (t-2\tau)\} x} \rho(x, y) dx dy$$

$$= \int e^{ik_x x} e^{ik_y y} \rho(x, y) dx dy$$

$$k_x = G_x (t - 2\tau), \quad k_y = G_y \tau$$

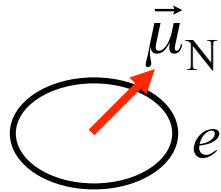
フーリエ逆変換
で $\rho(x, y)$
を求める。



II c 電子と原子核スピンの相互作用 (超微細相互作用、hyperfine interaction)

・電子-核スピン系のハミルトニアン

外部磁場 \uparrow
 \vec{H}_0



核磁気モーメントの作る双極子磁場

$$\vec{H}_N = \frac{1}{r^3} \left\{ \vec{\mu}_N - \frac{3}{r^2} (\vec{r} \cdot \vec{\mu}_N) \vec{r} \right\} \quad r=0 \text{ おける相互作用が欠如。}$$

$$\vec{H}_0 = \text{rot}(\vec{A}_0) \quad \vec{A}_0 = \frac{1}{2} (\vec{H}_0 \times \vec{r})$$

$$\vec{H}_N = \text{rot}(\vec{A}_N) \quad \vec{A}_N = \frac{\vec{\mu}_N \times \vec{r}}{r^3}$$

$$H = \frac{1}{2m} \left\{ \vec{p} + \frac{e}{c} \vec{A}_0(\vec{r}) + \frac{e}{c} \vec{A}_N(\vec{r}) \right\}^2$$

$$+ 2\mu_B \vec{H}_0 \cdot \vec{s} + 2\mu_B \text{rot}(\vec{A}_N) \cdot \vec{s} + V(\vec{r}) + \vec{H}_0 \cdot \vec{\mu}_N$$

$$H = \frac{\vec{p}^2}{2m} + V(\vec{r}) + 2\mu_B \vec{H}_0 \cdot \vec{s} + \frac{e}{2mc} (\vec{p} \cdot \vec{A}_0(\vec{r}) + \vec{A}_0(\vec{r}) \cdot \vec{p}) + \frac{e}{2mc} (\vec{p} \cdot \vec{A}_N(\vec{r}) + \vec{A}_N(\vec{r}) \cdot \vec{p})$$

$$\frac{e\hbar}{2mc} (\vec{r} \times \vec{p}) \cdot \vec{H}_0 = \mu_B \vec{H}_0 \cdot \vec{l} \qquad 2\mu_B \frac{\vec{\mu}_N \cdot \vec{l}}{r^3}$$

$$+ \frac{e^2}{2mc^2} \left[\left\{ \vec{A}_0(\vec{r}) \right\}^2 + \left\{ \vec{A}_N(\vec{r}) \right\}^2 \right] + \frac{e^2}{mc^2} \vec{A}_0(\vec{r}) \cdot \vec{A}_N(\vec{r}) + 2\mu_B \text{rot}(\vec{A}_N) \cdot \vec{s} + \vec{H}_0 \cdot \vec{\mu}_N$$

反磁性エネルギー

電子の反磁性電流と核スピンの相互作用(化学シフト)

(原子核が複数あるとき)電子を媒介とした核スピン間の結合

殆どの物質ではこの2つが重要。
(例:蛋白質の構造)

$$\begin{aligned} \text{rot}(\vec{A}_N) &= \text{rot} \frac{\vec{\mu}_N \times \vec{r}}{r^3} = \text{rot} \left(\vec{\nabla} \left(\frac{1}{r} \right) \times \vec{\mu}_N \right) = \text{rot} \left\{ \text{rot} \left(\frac{\vec{\mu}_N}{r} \right) \right\} & \text{rot}(\text{rot}(\vec{A})) &= \vec{\nabla}(\text{div}(\vec{A})) - \Delta(\vec{A}) \\ &= \left[\vec{\nabla} \left\{ \text{div} \left(\frac{\vec{\mu}_N}{r} \right) \right\} - \frac{\vec{\mu}_N}{3} \Delta \left(\frac{1}{r} \right) \right] - \frac{2\vec{\mu}_N}{3} \Delta \left(\frac{1}{r} \right) & \Delta \left(\frac{1}{r} \right) &= -4\pi \delta(\vec{r}) \\ &= -\frac{\vec{\mu}_N}{r^3} + 3 \frac{(\vec{\mu}_N \cdot \vec{r}) \vec{r}}{r^5} + \frac{8\pi}{3} \vec{\mu}_N \delta(\vec{r}) \end{aligned}$$

$$\begin{aligned} \mathbf{H} &= \mathbf{H}_e + \mathbf{H}_N + (\text{反磁性化学シフト}) + (\text{間接核スピン間相互作用}) \\ &+ 2\mu_B \left[\frac{\vec{l}}{r^3} - \frac{\vec{s}}{r^3} + \frac{3(\vec{r} \cdot \vec{s}) \vec{r}}{r^5} + \frac{8\pi}{3} \vec{s} \delta(\vec{r}) \right] \cdot \vec{\mu}_N \quad \vec{\mu}_N = \hbar \gamma_N \vec{I} \end{aligned}$$

電子が原子核スピンに及ぼす磁場

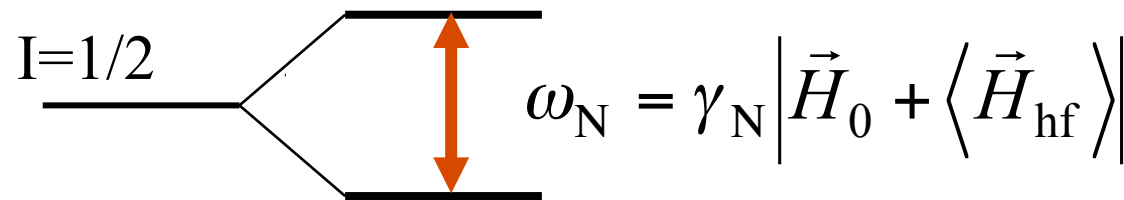
$$\vec{H}_{\text{hf}} = -2\mu_B \left[\frac{\vec{l}}{r^3} - \frac{\vec{s}}{r^3} + \frac{3(\vec{r} \cdot \vec{s}) \vec{r}}{r^5} + \frac{8\pi}{3} \vec{s} \delta(\vec{r}) \right] : \text{超微細磁場 (magnetic hyperfine field)}$$

orbital field

spin dipolar field

(Fermi) contact field
S状態にのみ有効

常磁性体中では



周波数シフト

$$K = \frac{\omega_m - \omega_d}{\omega_d} = \frac{\langle H_{\text{hf}} \rangle}{H_0}$$

反磁性体中では(裸の核スピン) $\omega_N = \gamma_N H_0$

$$\langle H_{\text{hf}} \rangle \propto \langle S_z \rangle, \langle l_z \rangle$$

周波数シフト(K)は局所的な磁化率に比例する。

s電子スピン偏極によるシフト

$$\langle H_{\text{hf}} \rangle = -\frac{8\pi}{3} \langle \delta(\vec{r}) s_z \rangle 2\mu_B = -\frac{8\pi}{3} |\Psi_s(0)|^2 M_z, \quad K = \frac{8\pi}{3} |\Psi_s(0)|^2 \chi_s$$

$$H_s^{\text{hf}} = \frac{8\pi}{3} |\Psi_s(0)|^2 \mu_B$$

$1\mu_B$ のs電子スピンモメントが作る内部磁場

	$H_{\text{atom}}^{\text{hf}}(\text{T})$	K (%) metal
${}^3\text{Li}$	12.2	0.026
${}^{23}\text{Na}$	39	0.113
${}^{85}\text{Rb}$	120	0.652
${}^{133}\text{Cs}$	200	1.49

金属中では、 $|\Psi_s(0)|^2$ は自由原子の0.1~0.8倍

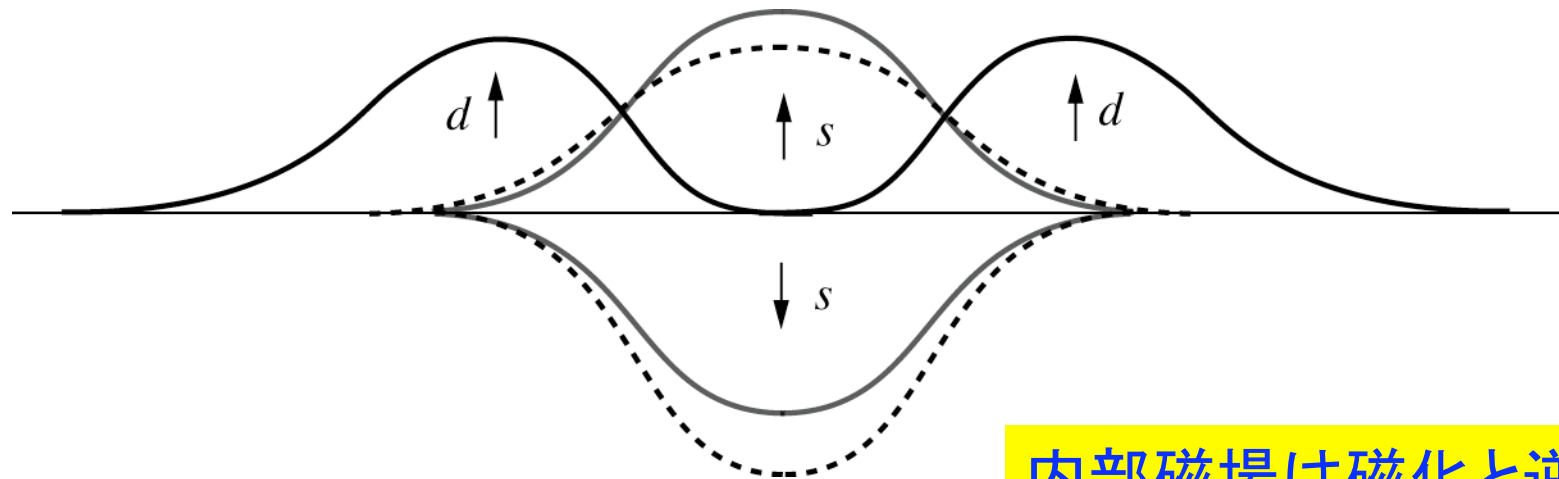
Core Polarizationの効果：閉殻s状態のスピンの偏極

スピン偏極したd(f)電子があると、交換相互作用のために、s電子はスピンの向きによって異なるポテンシャルを感じる。



閉殻s状態であってもスピン偏極が生じる。(全空間で積分すればゼロ)

$H_{cp} \sim$	-12 T/ μ_B	3d
	-35 T	4d
	-100T	5d



内部磁場は磁化と逆向き

金属中のNMRシフト(ナイトシフト)の測定例 (Pt)

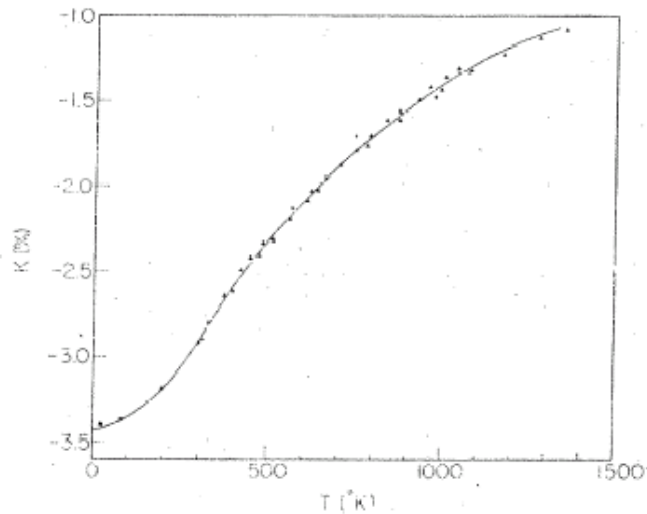


FIG. 1. Knight shift as a function of temperature. Solid squares, low-temperature NBS measurements; solid triangles, our experimental results.

K- χ analysis

$$\chi(T) = \chi_{\text{dia}} + \chi_s + \chi_{\text{orb}} + \chi_{\text{d,spin}}(T)$$

$$K(T) = (K_{\text{dia}}) + K_s + K_{\text{orb}} + K_{\text{d,spin}}(T)$$

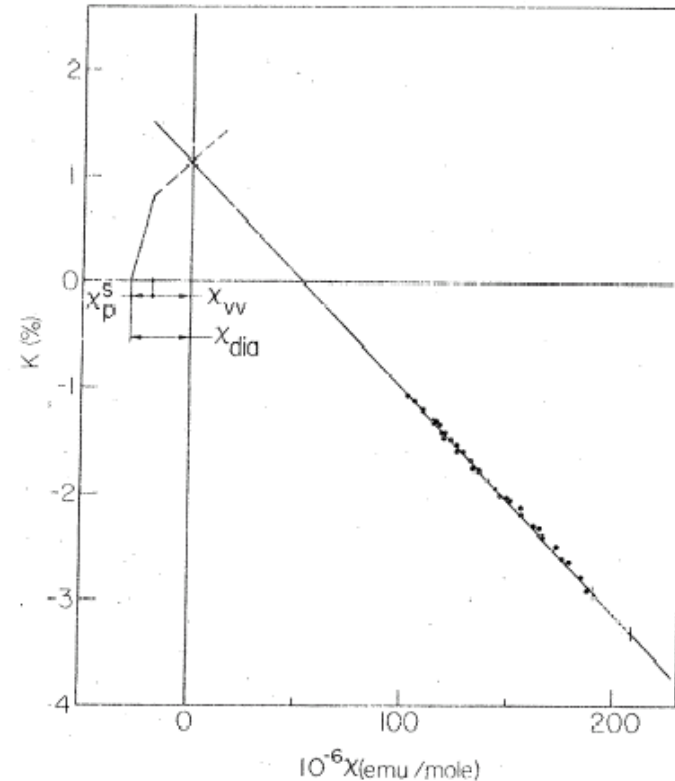


FIG. 3. Plot of K vs χ . Dashed line, least-squares fit of Clogston *et al.* (Ref. 1).

$$K_{\text{d,spin}}(T) = H_{\text{cp}} \frac{\chi_{\text{d,spin}}(T)}{\mu_B}$$

電気四重極相互作用 (Electric Quadrupole Interaction)

$$H = \int \rho_n(\vec{r}) V(\vec{r}) d\vec{r} \quad \text{静電相互作用}$$

↑
原子核の電荷分布

↑
電子や周囲の原子核が作る静電ポテンシャル

$$V(\vec{r}) = V(0) + \sum_j x_j \left(\frac{\partial V}{\partial x_j} \right)_{r=0} + \sum_{i,j} x_i x_j \left(\frac{\partial^2 V}{\partial x_i \partial x_j} \right)_{r=0}$$

$$H = \sum_{i,j} V_{ij} Q_{ij}$$

V_{ij} : (原子核位置で見た) 結晶構造の対称性、電子の電荷分布(軌道波動関数)を反映する。

$$V_{ij} = \left(\frac{\partial^2 V}{\partial x_i \partial x_j} \right)_{r=0}$$

電場勾配 Electric Field Gradient

$$Q_{ij} = \int \rho_n(r) \left(\partial x_i \partial x_j - \frac{r^2}{3} \delta_{ij} \right) dr$$

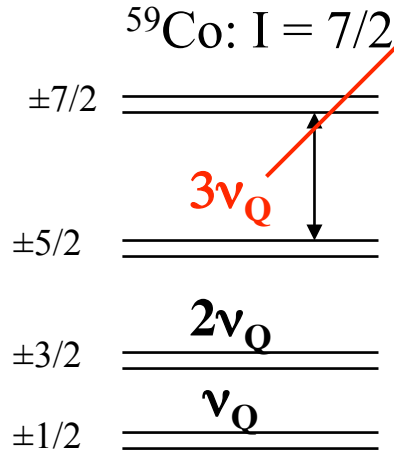
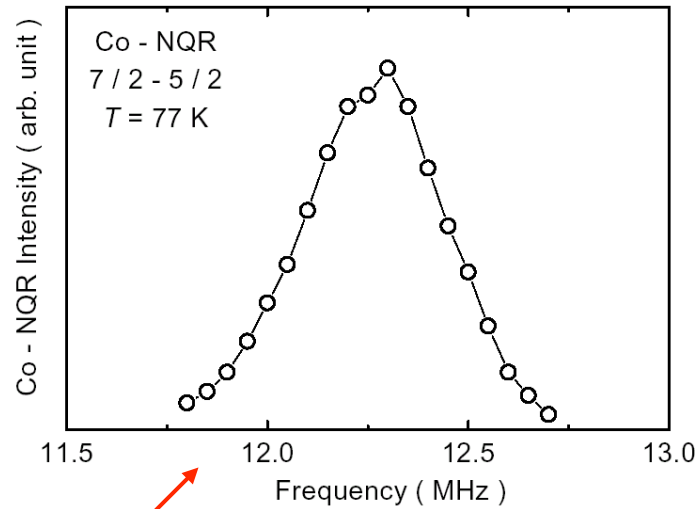
Wigner-Eckertの定理

$$= \frac{eQ}{6I(2I-1)} \left\{ \frac{3}{2} (I_i I_j + I_j I_i) - \delta_{ij} I(I+1) \right\}$$

Q : 原子核の電気四重極モーメント

Co-NQR Experiment

Co-NQR



$$\nu_Q \sim 4.12 \text{ MHz}$$

$$\eta \sim 0.223$$

Estimation of T_1

Theoretical curve

$$(M(\infty) - M(t)) / M(\infty)$$

$$\propto (3/14) \exp(-3t/T_1) + (50/77) \exp(-10t/T_1)$$

$$+ (3/22) \exp(-21t/T_1)$$

Fairly good fitting was obtained.

Recovery

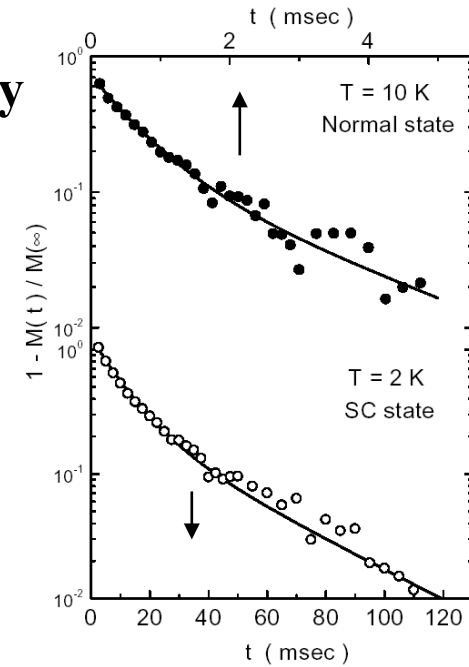
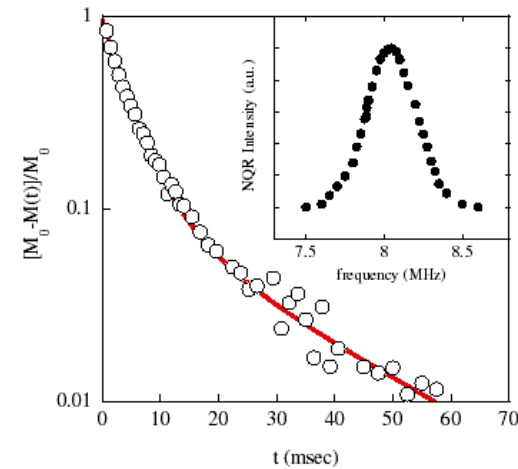


Fig.1



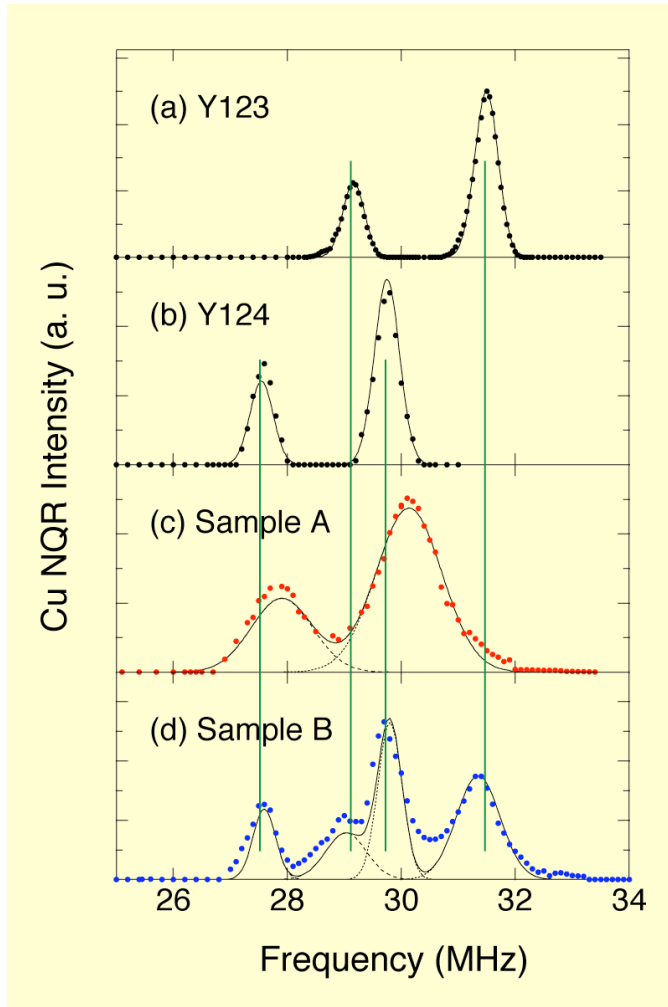
Fujimoto *et al.*

FIG. 1: ^{59}Co nuclear magnetization decay curve at $T=1.7$ K fitted uniquely by the expected theoretical curve (see text). The inset shows NQR line shape ($\pm 3/2 \leftrightarrow \pm 5/2$ transition) at whose peak T_1 was measured.

Y系超伝導体のCu(2)サイトのNQR

T=1.3 K, H_{ext} = 0

ν_Q は何で決まるか?



$$H_{eq} = \frac{e^2 q Q}{4I(2I-1)} \{3I_x^2 - I^2 + \eta(I_x^2 - I_y^2)\}$$

$I=3/2$ (^{63}Cu , ^{65}Cu)のとき

$$\nu_Q = \frac{e^2 q Q}{2h} \left(1 + \frac{\eta^2}{3}\right)^{\frac{1}{2}}$$

$$eq = (1 - \gamma_\infty)eq_{latt} + (1 - R_Q)eq_{os}$$

$$eq_{os} = \frac{4}{7}e \langle r^{-3} \rangle \quad eq_{latt} = \sum_i \frac{e_i(3z_i^2 - r_i^2)}{r_i^5}$$

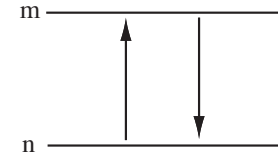
周りの格子の寄与

自分自身の電子の軌道の形

スピン-格子緩和時間, T_1 スピン-格子緩和率, $1/T_1$

$$1/T_1 = W_{\downarrow} + W_{\uparrow}$$

$$W_{mks, nk's'} = \frac{2\pi}{\hbar} \left| \langle mks | V | nk's' \rangle \right|^2 \delta(E_m + E_{ks} - E_n - E_{k's'})$$

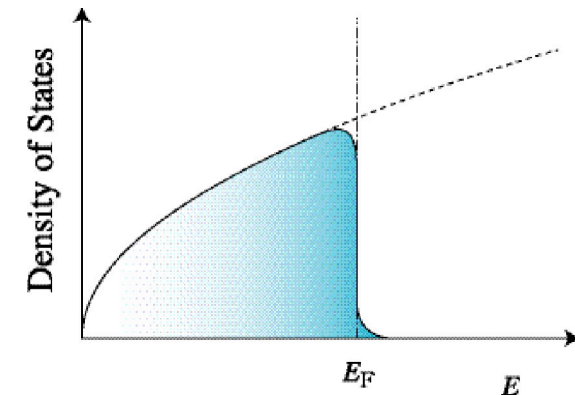
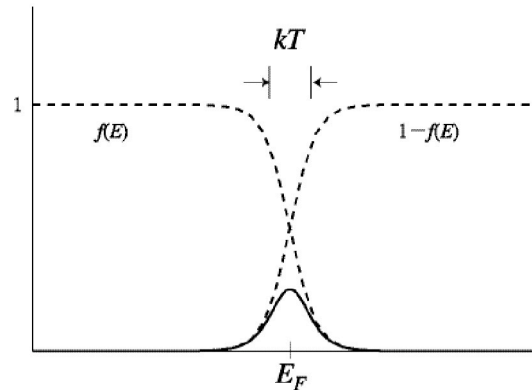
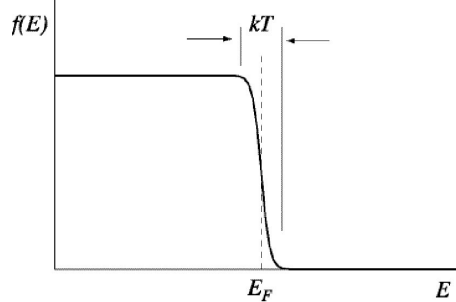
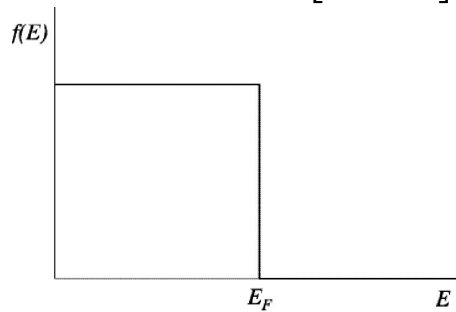


Korringa関係

$$W_{mn} = \frac{64}{9} \pi^3 \hbar^3 \gamma_e^2 \gamma_n^2 \sum_{\alpha} (m | I_{\alpha} | n) (n | I_{\alpha} | m) \times \int \left\langle |u_{\mathbf{k}}(0)|^2 \right\rangle_E^2 \rho^2(E) f(E) [1 - f(E)] dE$$

$$f(E)[1 - f(E)] = k_B T \left\{ -\frac{\partial f}{\partial E} \right\} \approx k_B T \delta(E - E_F)$$

$$\frac{1}{T_1} = \frac{64}{9} \pi^3 \hbar^3 \gamma_e^2 \gamma_n^2 \left\langle |u_{\mathbf{k}}(0)|^2 \right\rangle_{E_F}^2 \rho^2(E_F) k_B T$$



BCS理論

$$(1/T_1)_s / (1/T_1)_N = 2 \int_0^\infty dE N^s(E T) \left(1 + \frac{\Delta^2}{E^2}\right) f(E T) [1 - f(E T)]$$

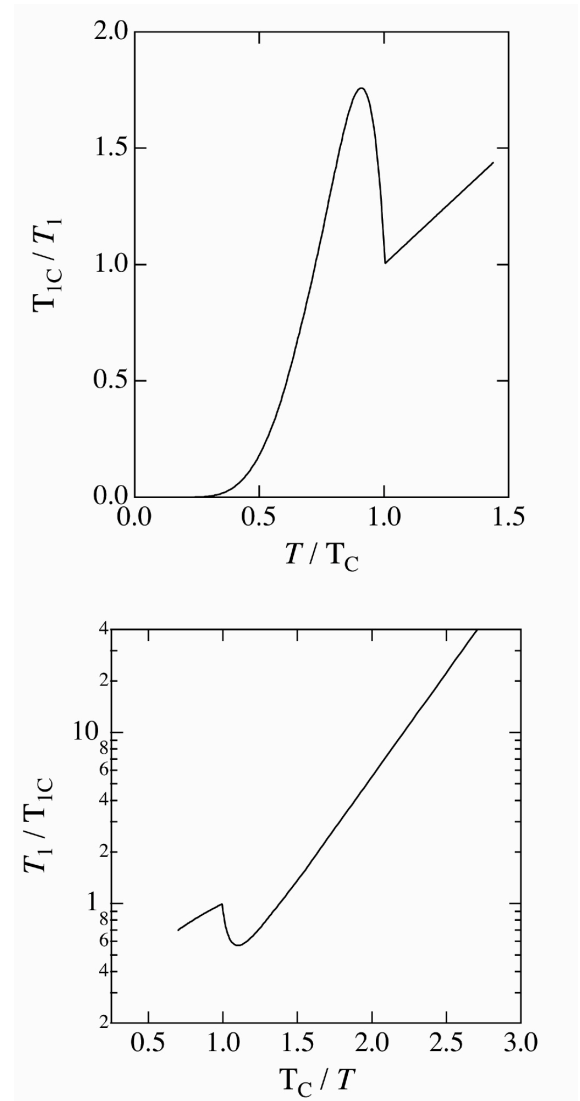
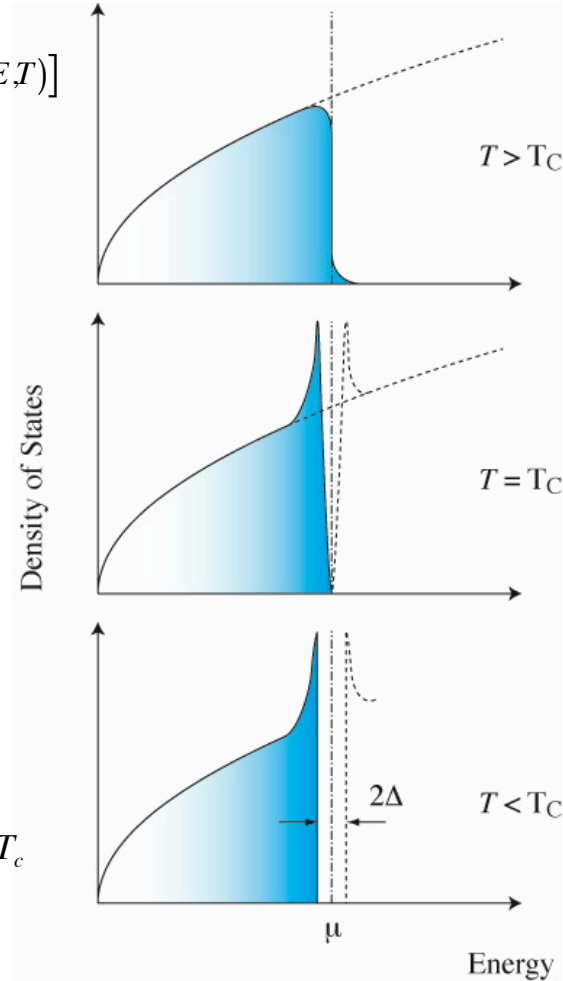
$$|E| > \Delta(T): N^s(E) = N_F \frac{E}{\sqrt{E^2 - |\Delta|^2}}$$

$$|E| < \Delta(T): N^s(E) = 0$$

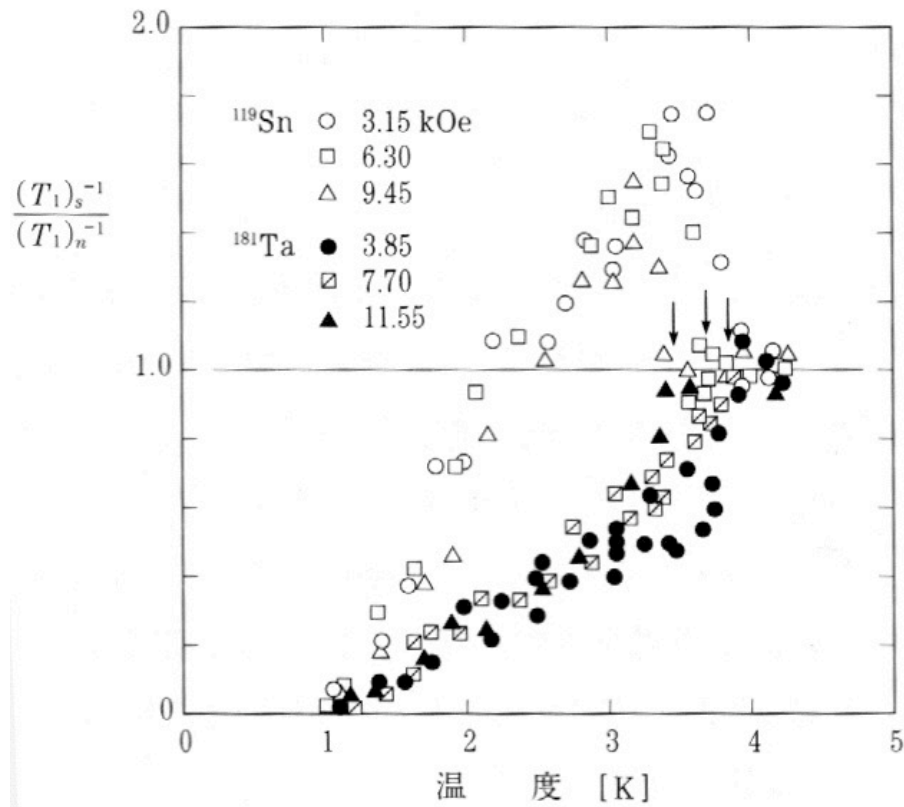
$$(1/T_1)_s / (1/T_1)_N$$

$$= \int_{|\Delta|}^\infty dE \left\{ -\frac{\partial f(E)}{\partial E} \right\} \frac{E^2 + |\Delta|^2}{\sqrt{E^2 - |\Delta|^2} \sqrt{(E + \hbar\omega)^2 - |\Delta|^2}}$$

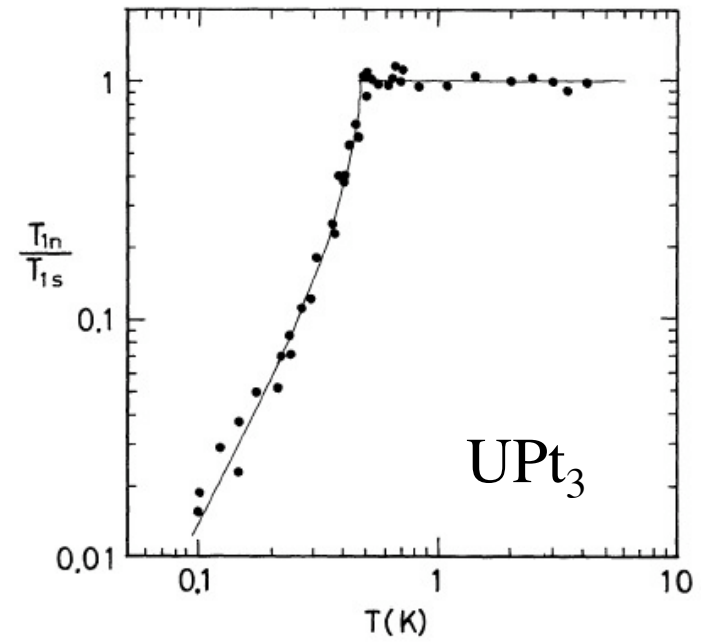
$$T \ll T_c: 1/T_1 \propto \exp\left(-\frac{2\Delta_0(0)}{k_B T}\right), \quad 2\Delta_0(0) \cong 3.5 k_B T_c$$



s波超伝導体

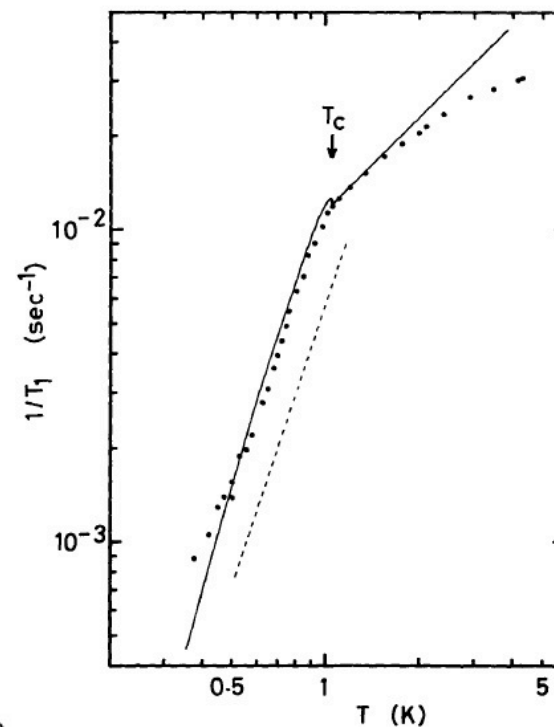
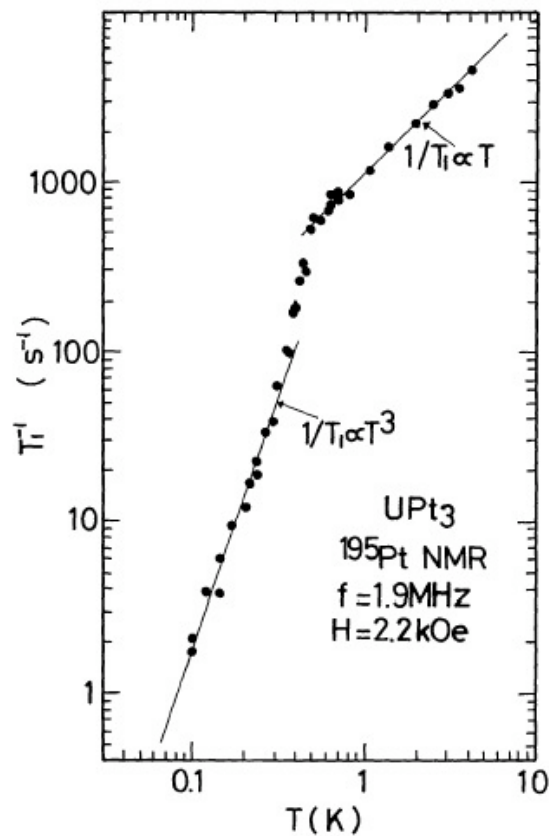
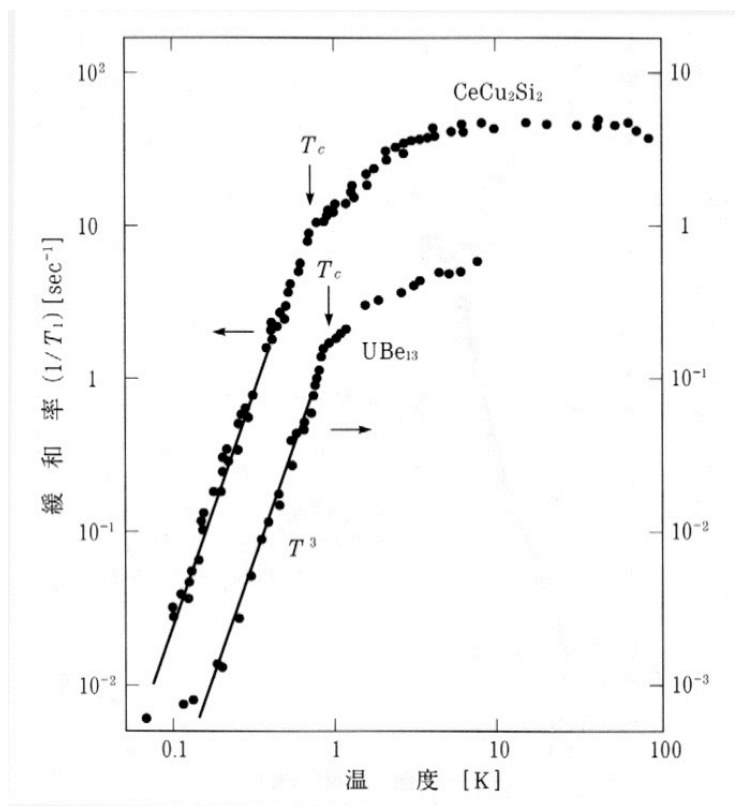


Heavy Fermion Super



p波超伝導体

スピン-格子緩和率 $1/T_1$

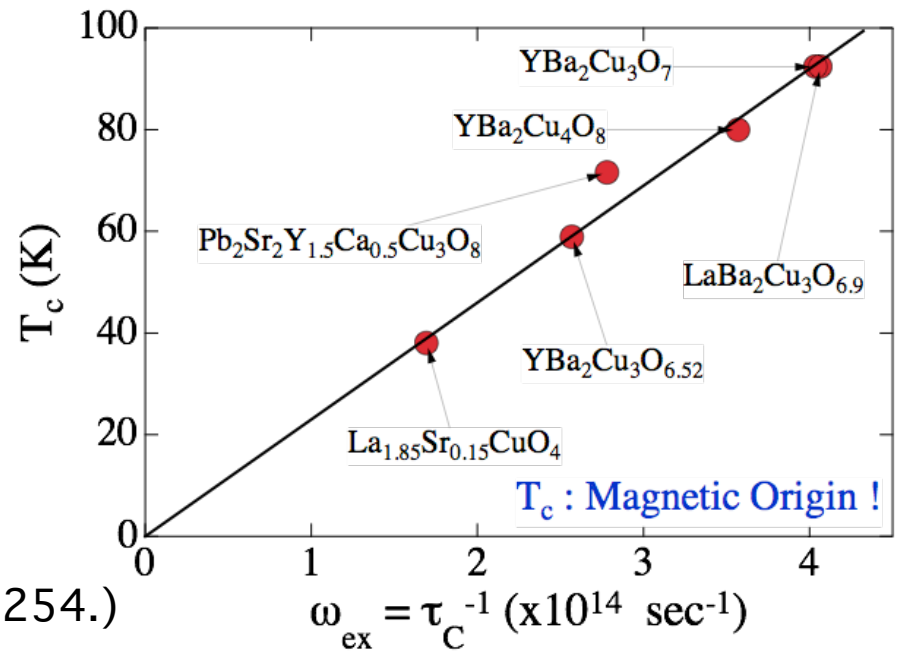
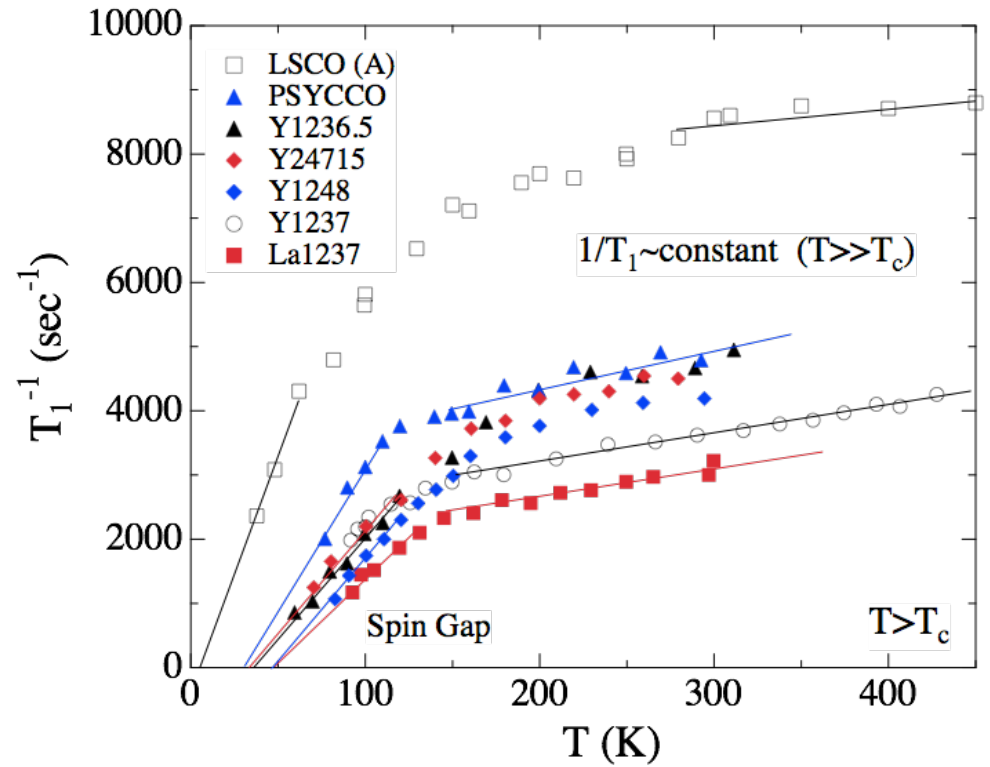
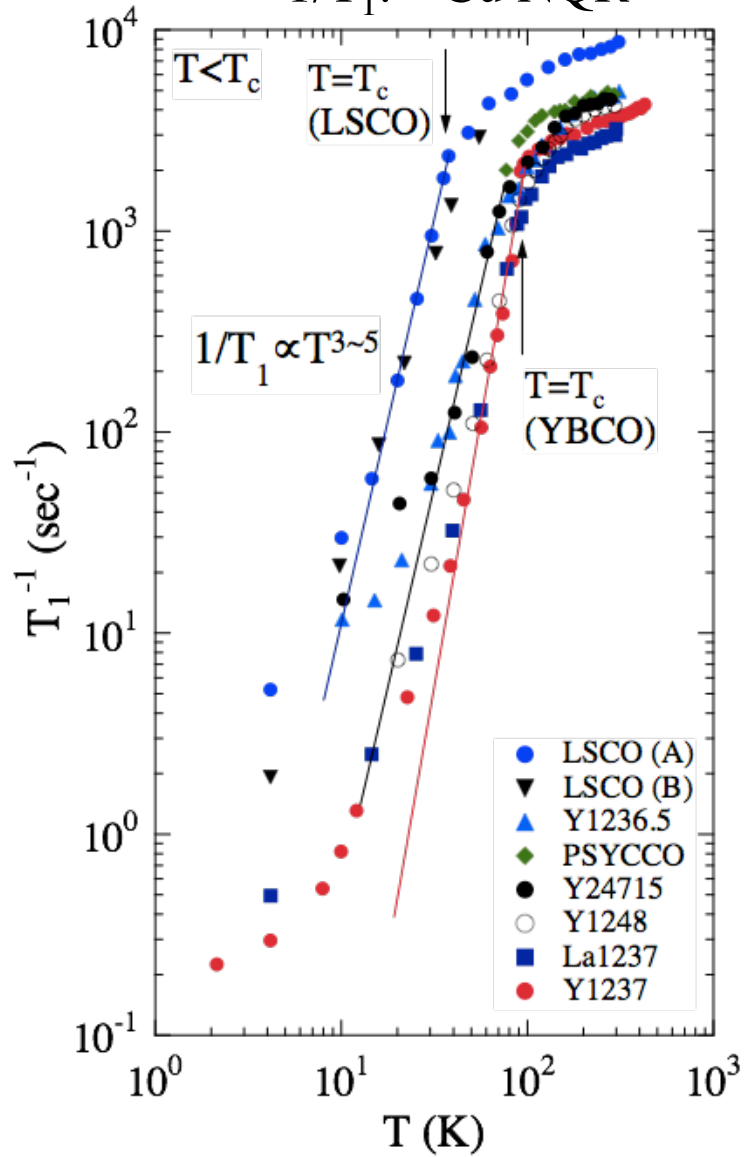


重い電子系超伝導体

有機超伝導体
 TMTSF ¹H NMR

銅酸化物高温超伝導体の核磁気緩和

$1/T_1$: ^{63}Cu NQR



(Phys. Rev. Lett. 70 (1993) 1002; 71 (1993) 1254.)

スピン-格子緩和率, $1/T_1$

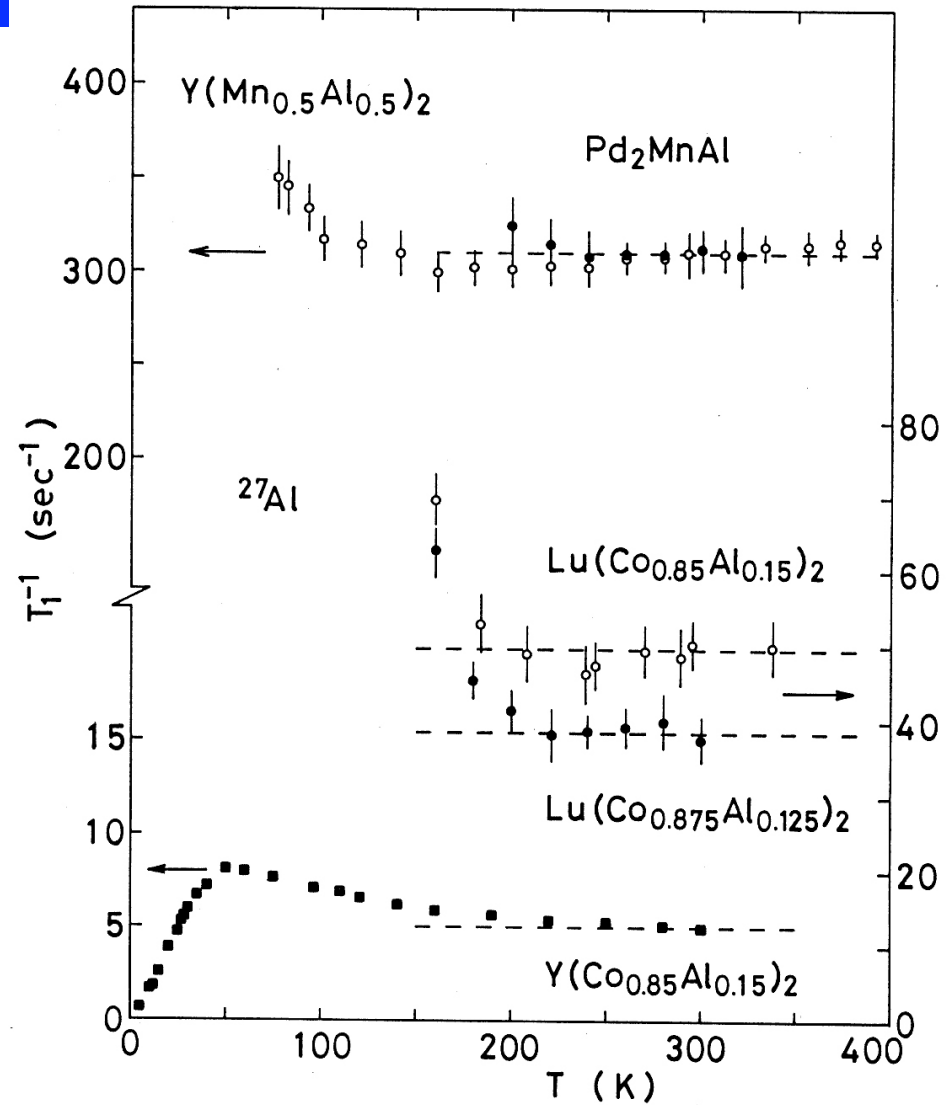
$$\frac{1}{T_1} = 2(\gamma_n A_{hf})^2 kT \sum_q \frac{\text{Im} \chi(q\omega_0)}{\omega_0}$$

$$\frac{\text{Im} \chi(q\omega)}{\omega} = \chi(q,0) f_q(\omega)$$

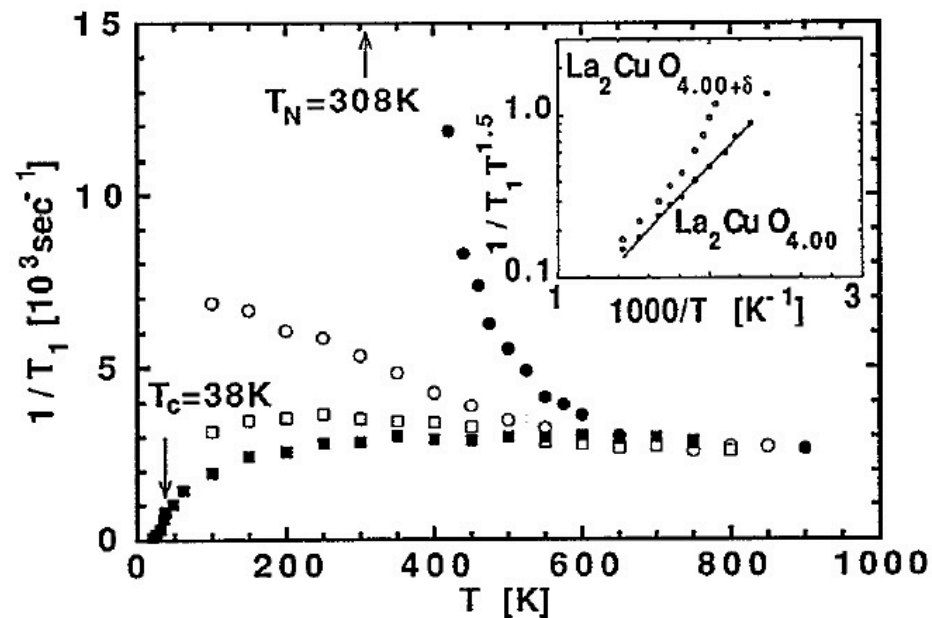
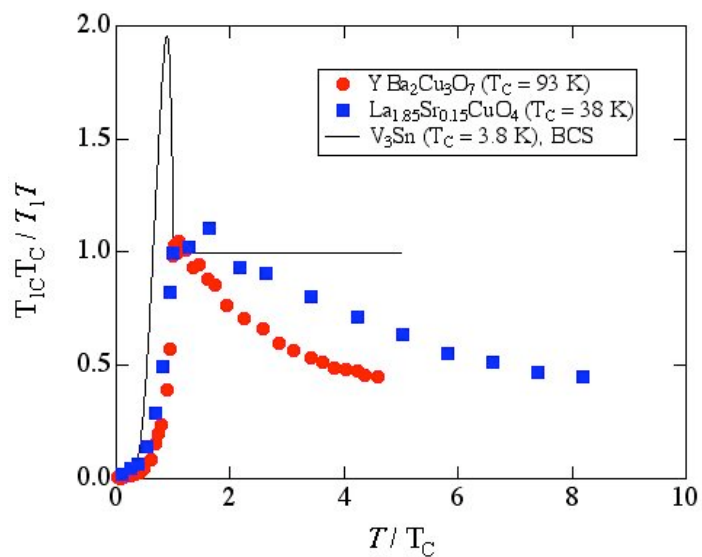
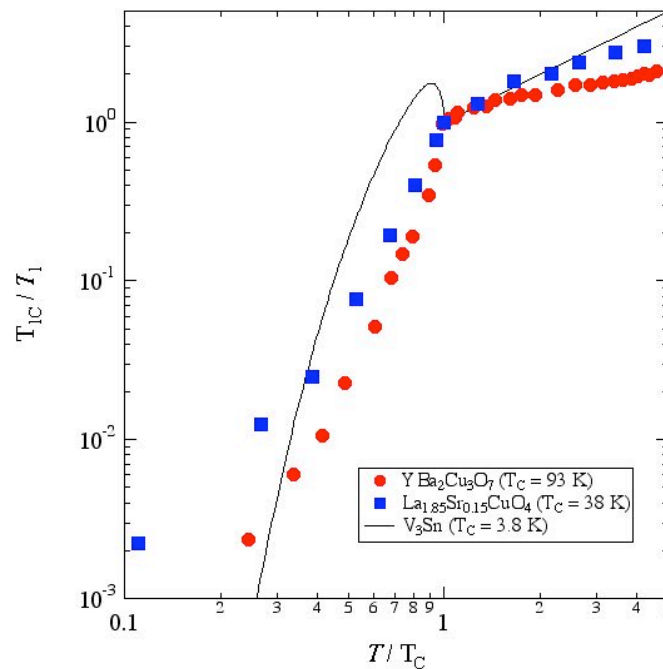
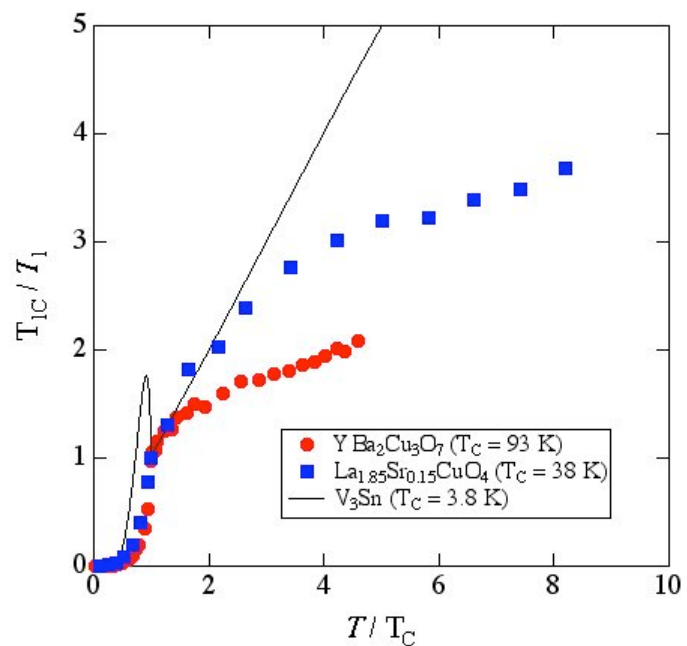
$$f_q(\omega) = \frac{\pi \Gamma_q}{\Gamma_q^2 + \omega^2} \quad \frac{\text{Im} \chi(q\omega_0)}{\omega_0} = \frac{\pi \chi(q,0)}{\Gamma_q}$$

$$\frac{1}{T_1} = 2(\gamma_n A_{hf})^2 k_B T \sum_q \frac{\pi \chi(q,0)}{\Gamma_q} \approx 2(\gamma_n A)^2 k_B T \frac{\pi \chi(0,0)}{\Gamma}$$

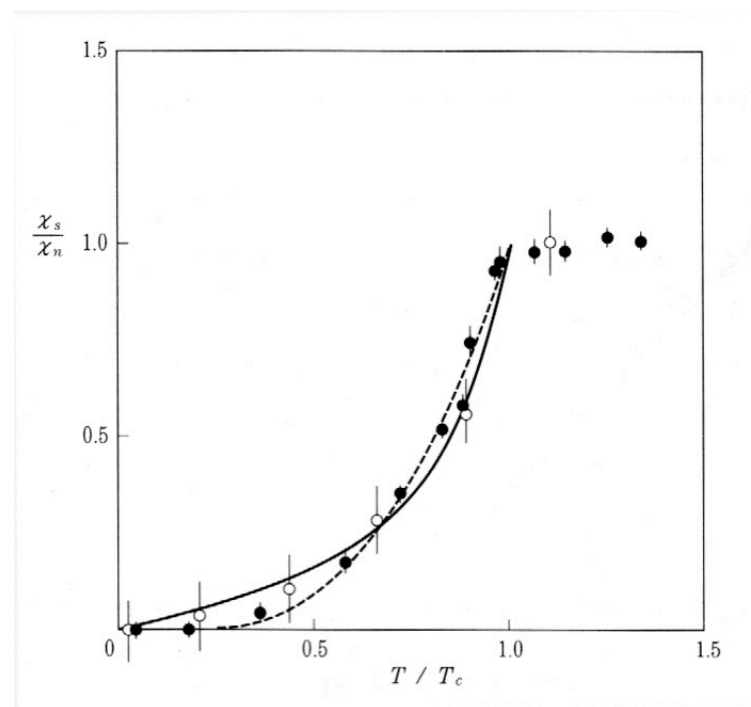
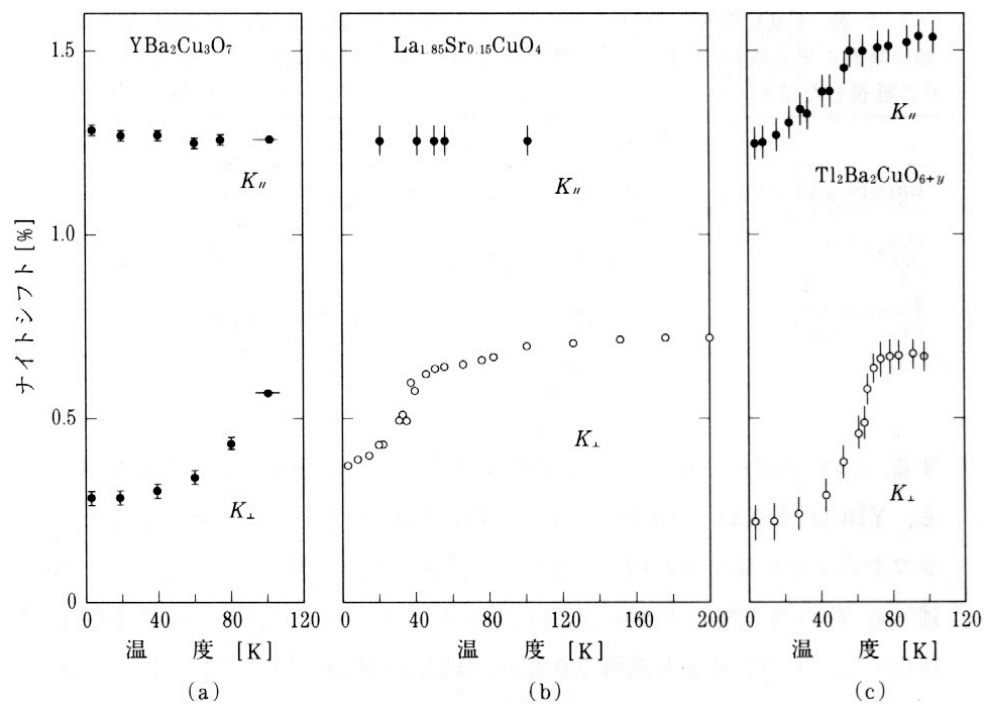
$$\xrightarrow{T \gg 1} \propto (\gamma_n A_{hf})^2 \frac{1}{\Gamma} = (\gamma_n A_{hf})^2 \tau$$



高温超伝導体の $1/T_1$ と $1/T_1T$



高温超伝導体のナイトシフトK



d波超伝導体

Results of Sr_2RuO_4

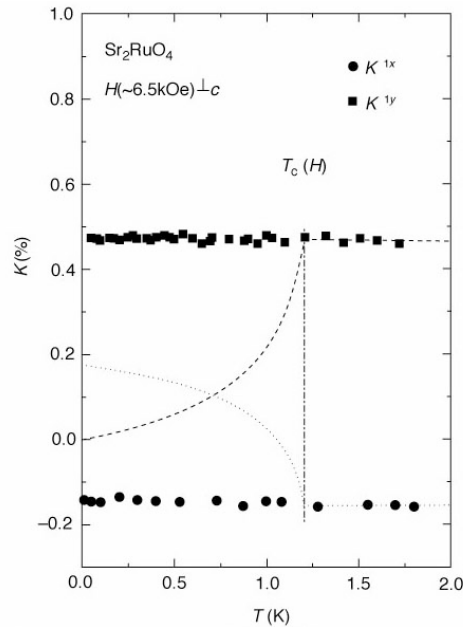
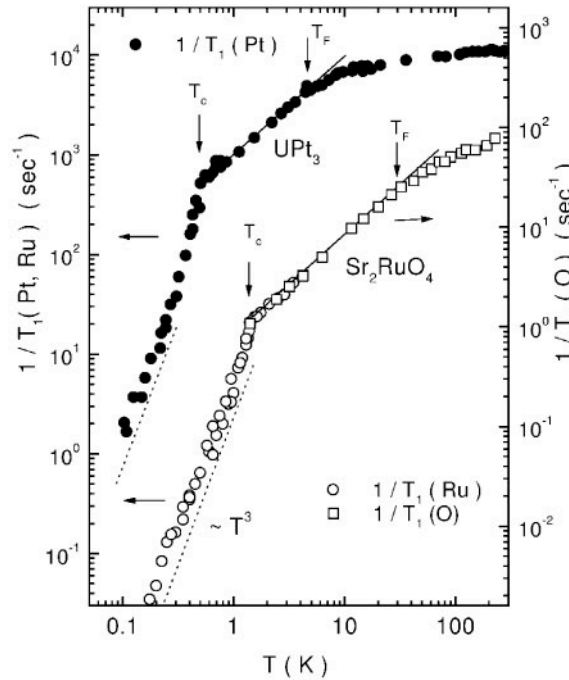


Figure 3 Temperature dependence of K^{1x} and K^{1y} at low temperatures. Broken lines below T_c indicate the calculation for the spin-singlet d-wave state in two dimensions with $d_{x^2-y^2}$ symmetry, using the parameters $\xi \approx 0.5 \text{ \AA}$, $\zeta \approx 0.5 \text{ \AA}$ and $2\zeta_0 \approx 8k_B T_c$ which are compatible with those of $\text{YBa}_2\text{Cu}_3\text{O}_7$ (ref.15). ϕ is the angle on the cylindrical Fermi surface of the CuO_2 plane.

Ishida et al.,
Nature **396**, 658(1998).



Ishida et al., Phys. Rev. Lett.,
84, 5387(2000).

$$1/T_1 \sim T^3 \quad (< T_c)$$



$$\mathbf{d}(\mathbf{k}) = (k_x \pm ik_y) \hat{z}$$

$$|\mathbf{d}(\mathbf{k})| \propto \sqrt{k_x^2 + k_y^2}$$

→ without nodes

Interband Proximity Effect
(Zhitomirsky et al., Phys. Rev. Lett.,
87, 057001(2001).)

Perturbation Theory
(Nomura et al., J. Phys. Soc. Jpn.,
71, 404(2002).)